



مدل سازی سینماتیکی و طراحی بهینه‌ی یک مکانیزم توانبخشی حرکت پای افراد ناتوان

فائزه جهانشاه^۱، علی مختاریان^{۲*}

۱- کارشناس ارشد، دانشکده مهندسی مکانیک، واحد خمینی شهر، دانشگاه آزاد اسلامی، خمینی شهر، اصفهان، ایران

۲- استادیار، دانشکده مهندسی مکانیک، واحد خمینی شهر، دانشگاه آزاد اسلامی، خمینی شهر، اصفهان، ایران

* اصفهان، صندوق پستی ۸۴۱۷۵-۱۱۹ mokhtarian@iaukhsh.ac.ir

چکیده

امروزه با پیشرفت علم مهندسی در زمینه‌ی پژوهشی، استفاده از سیستم‌های توانبخشی رباتیکی جهت درمان ناتوانی حرکتی بسیار مورد توجه قرار گرفته است. طراحی و ساخت این دستگاه‌ها از اهمیت بسیار بالای برخوردار است. یکی از مهم‌ترین وسایل توانبخشی مورد استفاده سیستم‌های کمک‌حرکتی پا هستند که از جمله مسائل مهم در راستای طراحی و ساخت این سیستم‌ها حرکت دادن پا بر اساس الگوی صحیح راه رفتن می‌باشد. در این مقاله طراحی یک دستگاه فعال یک درجه آزادی جهت توانبخشی پای افراد ناتوان ارائه شده است. مدل پیشنهادی مبتنی بر ساختار یک مکانیزم چهارمیله‌ای است که پارامترهای طراحی و ساخت آن با بکارگیری الگوریتم بهینه‌سازی ژنتیک به گونه‌ای انتخاب می‌شوند که حرکت پا کمترین اختلاف را با الگوی راه رفتن دارد. پس از استخراج معادلات سینماتیکی حلقه بسته سیستم و حل آن‌ها، بهینه‌سازی با تمرکز بر روی هر یک از مقاطع ران و زانو به طور جداگانه با تغییر مناسب ضرایب وزنیتابع هدف (W_1 و W_2) به انجام رسیده است. با توجه به تابع هدف بهینه‌سازی تعريف شده، با افزایش W_1 نسبت به W_2 قابلیت سیستم در نزدیک نمودن زاویه‌ی مفصل ران به تابع زمانی مطلوب و با افزایش W_2 نسبت به W_1 توانایی دستگاه در نزدیک کردن زاویه‌ی مفصل زانو به تابع زمانی متناظر افزایش می‌یابد. نتایج بدست آمده گویای توانایی دستگاه در توانمندسازی حرکت پای افراد ناتوان در جهت بارگذاری حرکت مطلوب راه رفتن برای آنهاست.

اطلاعات مقاله

مقاله پژوهشی کامل

دیرافت: ۱۸ فروردین ۱۳۹۷

پذیرش: ۲۲ خرداد ۱۳۹۷

ارائه در سایت: ۱۵ مرداد ۱۳۹۷

کلیدواژگان

مدلسازی سینماتیکی

مکانیزم چهارمیله‌ای

توانبخشی

بهینه‌سازی

Kinematic Modeling and Optimum Design of a Rehabilitation Mechanism for Leg Motion of People with Disabilities

Faezeh Jahanshah¹, Ali Mokhtarian^{2*}

1- Department of Mechanical Engineering, Khomeinishahr Branch, Islamic Azad University, Khomeinisahr/Esfahan, Iran

2- Department of Mechanical Engineering, Khomeinishahr Branch, Islamic Azad University, Khomeinisahr/Esfahan, Iran

* P.O.B. 84175-119 Esfahan, Iran, mokhtarian@iaukhsh.ac.ir

Article Information

Original Research Paper

Received 7 April 2018

Accepted 12 June 2018

Available Online 6 August 2018

Keywords

Kinematic Modeling

Four-Bar Mechanism

Rehabilitation

Optimization

ABSTRACT

Today, with advances in medical, using robotic rehabilitation systems for treating incapability movements have been taken into consideration so much. One of the most important means of rehabilitation systems are used for auxiliary lower leg motion systems that the main factor in design and construction of these systems is moving leg according to the correct walking pattern. In this paper, design of an active device with one degree of freedom is provided for rehabilitating the weak leg of disable people. The proposed model is based on the structure of a four-bar mechanism. Its design and construction parameters with use of genetic optimization algorithm are selected in such a way that leg motions have the least difference with the pattern of walking. After the extraction of the kinematic equations of the closed-loop system and solving them, optimization with focusing on each joint of hip and knee is done separately with appropriate difference with weighting coefficients of objective function (W_1 , W_2). Due to the defined optimization objective function, with increasing W_1 respect to W_2 , the ability of system will increase in approximating the angle of hip joint to the optimal time function and by increasing W_2 respect to W_1 , the ability of

Please cite this article using:

Faezeh Jahanshah, Ali Mokhtarian, Kinematic Modeling and Optimum Design of a Rehabilitation Mechanism for Leg Motion of People with Disabilities, *Journal of Mechanical Engineering and Vibration*, Vol. 9, No. 2, pp. 14-19, 2017 (In Persian)

برای ارجاع به این مقاله از عبارت ذیل استفاده نمایید:

device will increase in approximating the angle of knee joint to the corresponding time function. The results indicated that the device ability for empowerment of leg motion of the disable people is in the way to rehabilitate the desired walking movement for them.

ایده‌ی اصلاح ارتبز منفعل موجود با اضافه کردن مازوّل‌های مکاترونیک سازگار در مفاصل است. این طرح به مشکلات ناشی از طراحی و کنترل ارتبز پرداخته و راه حل‌هایی برای رفع نواقص بیان کرده است [۷].

در تحقیق حاضر نیز یک سیستم مکاترونیکی طراحی و پیشنهاد می‌شود تا ضمن حذف نیاز به فیزیوتراپیست‌ها، امکان اصلاح حرکت در اعضای پای بیماری که دچار فقر حرکتی شده‌اند، فراهم و بهبودی حرکت برای مبتلایان به این بیماری با کیفیت بهتر تضمین شود. از نکات قابل توجه در طراحی این سیستم انتخاب پارامترهای طراحی به بهترین شکل ممکن جهت بهبود حرکت عضو آسیب‌دیده می‌باشد [۸]. در این پژوهش جهت بدست آوردن پارامترهای بهینه‌ی دستگاه از روش بهینه‌سازی الگوریتم ژنتیک استفاده شده است. از مزایای دیگر سیستم طراحی شده نسبت به موارد مشابه، امکان استفاده بیمار از مکانیزم در حالت خوابیده (درازکش) می‌باشد. مدل سینماتیکی ارائه شده از دستگاه همراه با پای بیمار بر اساس ساختار مکانیزم‌های چهارمیله‌ای می‌باشد. پس از طراحی اولیه‌ی سیستم و استخراج معادلات سینماتیکی، به تعیین تابع هدف مناسب جهت بهینه‌سازی پارامترهای طراحی پرداخته شده است. بهینه‌سازی‌های انجام شده با تمرکز بر روی یکی از مفاصل ران و زانو با تغییر مناسب ضرایب وزنی تابع هدف (W_1 و W_2) به طور جداگانه به انجام رسیده است.

۲- مدل سازی فیزیکی سیستم

طرح پیشنهادی مدل سازی یک مکانیزم چهار میله‌ای است که هدف اصلی آن نزدیک نمودن مسیر حرکت‌های دورانی لگن و زانو به مسیر مطلوب، بدون اعمال کوششی از جانب بیمار می‌باشد (شکل ۱). در این مکانیزم لینک اول ران پای بیمار (L_3) و لینک دوم فاصله‌ی زانو از نقطه اتصال لینک L_1 به ساق پا (L_2) می‌باشد. این دو لینک از طریق لینک سوم (L_1) به محرک خارجی متصل می‌شود. لینک چهارم این مکانیزم وتر مثلث قائم الزاویه‌ای است که یک ضلع آن فاصله‌ی لگن از محرک خارج (D) و ضلع دیگر آن ارتفاع لگن از محرک خارجی (H) می‌باشد. با تعریف یک قالب بهینه‌سازی مناسب در ترکیب با مسئله‌ی شبیه‌سازی، به پارامترهای بهینه‌ی دستگاه به گونه‌ای دست می-

۱- مقدمه

امروزه با بکارگیری دانش، رباتیک در علم پزشکی بیشتر در معرض توجه واقع شده است [۱]. با پیشرفت در حوزه رباتیک و مهندسی پزشکی، طراحی و ساخت سیستم‌های هوشمند در زمینه‌ی بهبود و حذف نقص حرکتی از شتاب قابل توجهی برخوردار شده است. برخی از سیستم‌های رباتیکی برای احیای مکانیک و اصلاح الگوی حرکتی مبتلایان به بیماری‌های سکته مغزی بکار گمارده شده‌اند و نتایج امیدوار کننده‌ای از آنها حاصل شده است [۲]. مطالعات کلینیکی انجام شده در این بیماری نشان می‌دهد که مبتلایان به این بیماری عموماً بطور نسبی در سه قابلیت تحرک، تکلم و تفکر در رنج و دچار نقاچی می‌شوند که هر کدام بصورت مستقل یا همراه با هم از استعداد بالقوه درمان برخوردار خواهند بود [۳]. شا و همکارانش در سال ۲۰۱۱ طرحی را با عنوان اختصاری I-LAD^۱ معرفی کردند که بوسیله آن فرد قادر است به تمرین راه رفتن بپردازد. نکته مهم در این طرح عملکرد دوگانه‌ی آن به صورت غیرفعال و فعل است. به این صورت که وقتی فرد به صورت صحیح راه می‌رود دستگاه به صورت غیرفعال است و فقط توان لازم برای فرد را مهیا می‌کند و در حالتی که فرد از روند راه رفتن طبیعی خارج می‌شود دستگاه سعی در اصلاح آن دارد. در این طرح از یک لینک‌بندی دوگانه همراه با موتورهای الکتریکی و گیربکس سیارهای استفاده شده که به کمک چندین سنسور به صورت حلقه بسته کنترل می‌شود [۴]. در سال ۲۰۱۲ مینگ شیون و همکارانش طراحی و کنترل یک مکانیزم CPM^۲ پیشنهاد دادند. در این ارتبز از یک سیستم کشویی هوشمند مبتنی بر مکانیزم لنگ-لغزnde برای رسیدن به سرعت زاویه‌ای و موقعیت دلخواه استفاده شده است [۵]. ریفایی و همکاران در سال ۲۰۱۳ به مطالعه روى یک ارتبز فعل اندام تحتانی برای حرکت مفصل زانو پرداخته‌اند. سیستم کنترل ساق پا از طریق یک مدل غیرخطی مرتبه ۲ در نظر گرفتن اینرسی و وزن بیان شده است [۶]. در سال ۲۰۱۳ LAگونس و همکارانش به طراحی یک ارتبز فعل پا با نام KAFO^۳ برای افراد مبتلا به آسیب نخاعی پرداخته‌اند. طراحی بر اساس

¹ Intuitive Leg Assist Device

² Continuous Passive Motion

³ knee-Ankle-Foot Orthosis

$$\varphi = \beta - \emptyset \quad (5)$$

$$\varphi = \cos^{-1} \left(\frac{M^2 + N^2 - (L_2)^2 - (L_3)^2}{2L_2 L_3} \right) \quad (6)$$

$$(L_2 \cos \emptyset + L_3 \cos(\emptyset + \varphi)) = M \quad (7)$$

$$\text{با استفاده از بسط مثلثاتی رابطه‌ی (7) را بازنویسی می‌کنیم:} \\ L_3 \cos \alpha \cos \varphi - L_3 \sin \alpha \sin \varphi + L_2 \cos \emptyset = M \quad (8)$$

طرفین رابطه‌ی (8) را بر $\cos \emptyset$ تقسیم می‌کنیم:

$$L_3 \cos \varphi - (L_3 \sin \varphi) \tan \emptyset + L_2 = \frac{M}{\cos \emptyset} \quad (9)$$

رابطه‌ی (9) را به توان ۲ می‌رسانیم:

$$\begin{aligned} & (L_3 \cos \varphi + L_2)^2 + (L_3 \sin \varphi)^2 (\tan \emptyset)^2 \\ & - 2(L_2 + L_3 \cos \varphi)(L_3 \sin \varphi) \tan \emptyset \\ & = M^2 [1 + (\tan \emptyset)^2] \end{aligned} \quad (10)$$

رابطه‌ی (10) به صورت یک معادله‌ی درجه‌ی ۲ بر حسب متغیر \emptyset بدست آمد، که بر اساس آن ضرایب معادله به شرح زیر می‌باشد:

$$a = M^2 - (L_3)^2 (\sin \varphi)^2 \quad (11)$$

$$b = 2(L_2 + L_3 \cos \varphi)(L_3 \sin \varphi) \quad (12)$$

$$c = M^2 - (L_3 \cos \varphi + L_2)^2 \quad (13)$$

بنابراین داریم:

$$\tan \emptyset = \frac{(-b \pm \sqrt{b^2 - 4ac})}{2a} \quad (14)$$

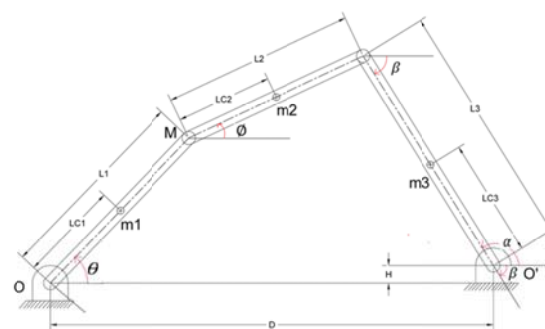
$$\emptyset = \tan^{-1} [(-b \pm \sqrt{b^2 - 4ac}) / 2a] \quad (15)$$

برای محاسبه‌ی سرعت زاویه‌ای از روابط (1) و (2) بر حسب زمان مشتق می‌گیریم که خواهیم داشت:

$$\begin{cases} -L_1 \dot{\theta} \sin \theta - L_2 \dot{\emptyset} \sin \emptyset - L_3 \dot{\beta} \sin \beta = 0 \\ L_1 \dot{\theta} \cos \theta + L_2 \dot{\emptyset} \cos \emptyset + L_3 \dot{\beta} \cos \beta = 0 \end{cases} \Rightarrow \quad (16)$$

یا بیم که پاسخ شبیه‌سازی مسئله، متناظر با نزدیکترین مسیر برای دوران‌های لگن و زانو به حالت مطلوب متناظر با الگوی راه رفتن باشد (شکل ۱).

برای بدست آوردن تابع هدف مناسب نیاز است مکانیزم (شکل ۱) به لحاظ سینماتیکی تحلیل شود [۹].



شکل ۱ مدل مکانیزم توابخشی پیشنهادی در اتصال به پا

۳- معادلات سینماتیکی سیستم

معادلات سینماتیکی حاکم بر سیستم طراحی شده به شکل زیر می‌باشد:

$$L_1 \cos \theta + L_2 \cos \emptyset + L_3 \cos \beta = D \quad (1)$$

$$L_1 \sin \theta + L_2 \sin \emptyset + L_3 \sin \beta = H \quad (2)$$

از آنجا که هدف یافتن زوایای ω و \emptyset بر حسب تغییرات زاویه‌ی موتور (θ) است معادلات بالا را به شکل زیر تغییر می‌دهیم:

$$L_2 \cos \emptyset + L_3 \cos \beta = D - L_1 \cos \theta \quad (3)$$

$$D - L_1 \cos \theta = M \quad (3)$$

$$L_2 \sin \emptyset + L_3 \sin \beta = H - L_1 \sin \theta \quad (4)$$

$$H - L_1 \sin \theta = N \quad (4)$$

معادلات (3) و (4) را به توان ۲ می‌رسانیم و باهم جمع می‌کنیم:

$$\cos(\beta - \emptyset) = \frac{[M^2 + N^2 - (L_3)^2 - (L_2)^2]}{2L_2 L_3}$$

با تعریف به صورت رابطه‌ی (5) خواهیم داشت:

شود. تکرار تا زمانی ادامه پیدا می‌کند که نتایج حاصل از تابع هدف به کمترین مقدار خودش نزدیک شود. برای بررسی عملکرد این الگوریتم از یک کاربر سالم جهت شبیه‌سازی و همچنین امکان سنجی در مرکز تحقیقات اسکلتی-عضلانی دانشکده توانبخشی دانشگاه علوم پزشکی اصفهان با مشخصات فیزیولوژیکی معتبر استفاده شد. زوایای چرخش زانو و مفصل ران طی یک سیکل گامی به روش ثبت حرکت با استفاده از تصویر برداری مادون قرمز در دانشکده توانبخشی دانشگاه اصفهان استخراج شده است.

در الگوریتم باینری نوشته شده در حل مسئله بهینه‌سازی، جمعیت اولیه کروموزوم‌ها، ضریب عملگر ترکیب و ضریب عملگرجهش به ترتیب برابر اعداد 10×10^3 و 0.03 انتخاب شده است. با توجه به این مسئله، در برنامه بهینه‌سازی الگوریتم ژنتیک تدوین شده، در صورت عدم برقراری رابطه‌ی کراشاف یک مقدار جریمه ثابت که در مقایسه با مرتبه عددی تابع هدف عدد سیار بزرگی است به عنوان تابع پنالتی به تابع بهینه‌سازی افزوده می‌شود.

۵- نتایج بهینه‌سازی

در تابع بهینه‌ی بددست‌آمده در این مرحله در سه حالت بررسی می‌شود. حالت اول نتایج حاصل بدون اختلاف پارامترهای وزنی W_1 و W_2 است، حالت دوم افزایش W_2 نسبت به W_1 جهت تمرکز بر روی تغییر زاویه‌ی زانو و حالت سوم افزایش W_1 نسبت به W_2 برای تمرکز بر روی تغییر زاویه‌ی مفصل ران می‌باشد. در حالت اول نتایج با مقادیر وزنی $W_1=1$ ، $W_2=1$ مورد بررسی قرار گرفت (شکل‌های ۲ و ۳). یعنی تغییرات زاویه‌ی مفصل ران و مفصل زانو از ارزش یکسانی در تابع هدف برخوردار می‌باشند. در حالت دوم نتایج مدل سازی با مقادیر $W_1=100$ ، $W_2=1$ ارزیابی شد (شکل‌های ۴ و ۵). از آنجا که W_1 ضریب تغییرات زاویه‌ی مفصل ران در تابع هدف می‌باشد، با افزایش آن، این مرحله با هدف تمرکز بر روی نزدیکی زاویه‌ی مفصل ران به حالت ایده‌آل خود انجام گرفت. و نهایتاً در حالت سوم نتایج بددست‌آمده به منظور تمرکز بر روی تغییرات زاویه‌ی مفصل زانو و نزدیکی این زاویه به حالت ایده‌آل و واقعی، با بالا بردن ضریب تغییرات زاویه‌ی زانو (W_2) در تابع هدف با مقادیر $W_1=1$ ، $W_2=100$ بررسی شده است (شکل‌های ۵ و ۶).

$$\begin{bmatrix} \dot{\theta} \\ \ddot{\beta} \end{bmatrix} = \begin{bmatrix} -L_2 \sin \theta & -L_3 \sin \beta \\ L_2 \cos \theta & L_3 \cos \beta \end{bmatrix}^{-1} * \begin{bmatrix} L_1 \sin \theta \\ -L_1 \cos \theta \end{bmatrix} \dot{\theta} \quad (17)$$

با در اختیار داشتن معادلات حرکت سیستم مدل شده از اعضای بدن بیمار و همچنین اطلاع از مشخصات فیزیکی و سینماتیکی اوی می‌توانیم به حل معادلات سینماتیکی در قالب یک مسئله تعريف شده بر طرح بپردازیم.

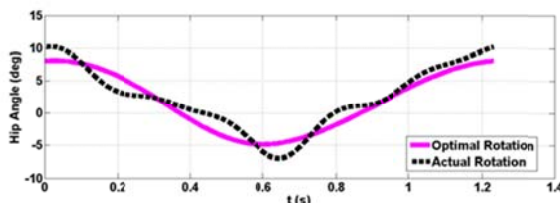
۴- تابع بهینه سازی

چگونگی تعریف خواسته مسئله، تعریف مناسب تابع هدف بهینه‌سازی را به همراه دارد [۱۰]. در اینجا تابع بهینه‌سازی مربوطه مطابق رابطه‌ی (۱۸) انتخاب گردیده است:

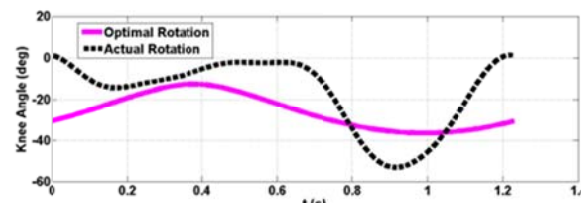
$$e = \int_0^T [W_1 (\theta_{hip}(t) - \theta_{dhip}(t))^2 + W_2 (\theta_{knee}(t) - \theta_{dknee}(t))^2] dt \quad (18)$$

که در آن T دوره‌ی زمانی تکرار سیکل گامی است. θ_{dhip} و θ_{dknee} تابع زمانی دوران‌های مطلوب لگن می‌باشند که برای کاربر سالم با آنالیز سینماتیکی راه رفتن او بر روی زمین در حالت طبیعی و بدون استفاده از دستگاه، به صورت دقیقی قابل تعیین می‌باشد. البته در مورد بیمار نیز روش‌هایی جهت تخمین و ارزیابی مسیر مطلوب حرکت اعضای پایین تنه در هنگام راه رفتن وجود دارد. θ_{hip} و θ_{knee} تابع زمانی سیستم و بیانگر دوران‌های لگن و زانو هستند که از حل معادلات سینماتیک مسئله استخراج شده است. W_1 و W_2 جهت وزن دار کردن مناسب پارامترها در تابع هدف وارد گردیده است. هر اندازه جواب تابع بهینه‌سازی به صفر نزدیکتر شود مسیر حرکت مکانیزم توانبخشی به الگوی حرکت مرجع نزدیکتر می‌شود.

در اینجا نتایج در سه حالت بررسی می‌شود. با توجه به تحلیل سینماتیک مسئله، پارامترهای طراحی در این الگوریتم بهینه‌سازی L_2 ، D ، H و زاویه‌ی شروع θ در نظر گرفته می‌شود. با مقداردهی اولیه به این پارامترها و تغییرات دامنه‌ی آنها بهینه‌سازی پارامترهای طراحی دست یابیم. در مسئله بهینه‌سازی حاضر، ابتدا الگوریتم ژنتیک با انتخاب یک جمعیت هدف اولیه، فرآیند بهینه‌سازی را آغاز و پس از دستیابی به یک نقطه بهینه‌ی پارامترهای طراحی دست یابیم. در مرحله‌ی دوم با شروع از بهترین نقطه بدست آمده از مرحله‌ی اول، روند بهینه‌سازی تکرار می‌-



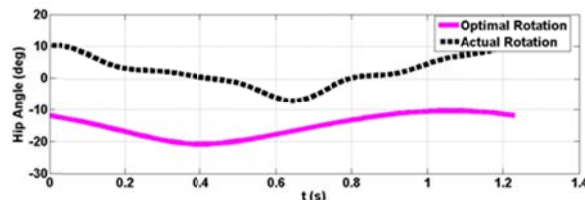
شکل ۷ نمودار زمانی بهینه شده زاویه‌ی چرخش مفصل ران در مقایسه با نمودار مطلوب متناظر در حالت سوم



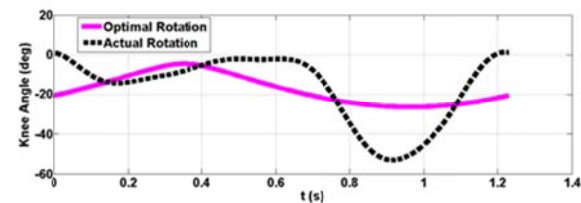
شکل ۲ نمودار زمانی بهینه شده زاویه‌ی چرخش مفصل زانو در مقایسه با نمودار مطلوب متناظر در حالت اول

۶- نتیجه‌گیری

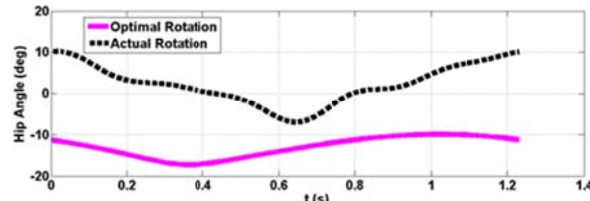
براساس نمودارهای شکل‌های ۲ تا ۷ می‌توان نتیجه گرفت با تغییر ضرایب وزنی W_1 و W_2 درتابع هدف می‌توان حرکت مناسبی را برای تنها یکی از مفاصل زانو و ران به دلخواه ایجاد نمود، هر چند که امکان تأمین حرکت بهینه‌ی مطلوب برای کل پا وجود ندارد. البته این محدودیت با توجه به سیستم یک درجه-آزادی ارائه شده و با وجود دو درجه آزادی بودن حرکت صفحه-ای پا دور از انتظار نمی‌باشد. همچنین تأمین حرکت مناسب برای هر یک از مفاصل ران و زانو پا به صورت جداگانه به خوبی امکان پذیر بوده است. محاسبات انجام گرفته به خوبی نشان‌دهنده‌ی کارکرد مناسب الگوریتم ژنتیک در تعیین بهینه‌ی پارامترهای طولی مکانیزم است به گونه‌ای که برای افراد با قد و مشخصات طولی متفاوت، قابل استفاده می‌باشد. از آنجا که این مکانیزم عضله‌های پا بیمار را تا حد زیادی درگیر حرکت می-کند می‌تواند به میزان قابل قبولی اثر مطلوب در توانبخشی فرد بیمار داشته باشد. طراحی و ساخت سیستم پیشنهادی از اهداف آتی نویسنده‌گان این مقاله می‌باشد.



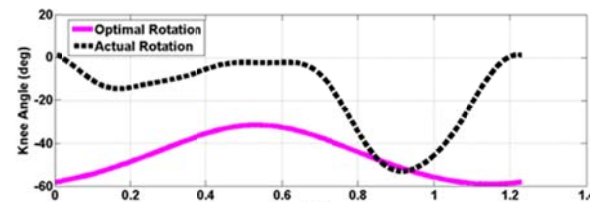
شکل ۳ نمودار زمانی بهینه شده زاویه‌ی چرخش مفصل ران در مقایسه با نمودار مطلوب متناظر در حالت اول



شکل ۴ نمودار زمانی بهینه شده زاویه‌ی چرخش مفصل زانو در مقایسه با نمودار مطلوب متناظر در حالت دوم



شکل ۵ نمودار زمانی بهینه شده زاویه‌ی چرخش مفصل ران در مقایسه با نمودار مطلوب متناظر در حالت دوم



شکل ۶ نمودار زمانی بهینه شده زاویه‌ی چرخش مفصل زانو در مقایسه با نمودار مطلوب متناظر در حالت سوم

۷- تقدير و تشكر

نگارنده‌گان این مقاله بربخود لازم می‌دانند از همکاری گروه ارتوپدی فنی دانشکده توانبخشی دانشگاه علوم پزشکی اصفهان تشکر نمایند.

۸- مراجع

- [1] Surdilovic, D. and Bernhardt, R., STRING-MAN: A New Wire Robot for Gait Rehabilitation, Proceeding of International Conference on Robotics and Automation, Vol. 2, pp. 2031-2036, 2004
- [2] Dollar, A.M. and Herr, H., Lower-extremity Exoskeletons and active orthoses: Challenges and state-of-the-Art, Proceeding of IEEE Transactions on Robotics, Vol. 24, No. 1, pp. 144-158, 2008.
- [3] Colombo, G., Joerg, M., Schreier, R. and Dietz, V., Treadmill Training of Paraplegic Patients Using a

Robotic Orthosis, Journal of Rehabilitation Research and Development, Vol. 37, No. 6, pp. 693-700, 2000.

- [4] Shah, B., McNally, D., Patel, K., Frone, S. and Sutaria, S., Design and fabrication of an Intuitive Leg Assist Device to address lower extremity weakness, Proceeding of 37th Annual Northeast Bioengineering Conference, pp. 1-2, 2011.
- [5] Ming-Shiun H., Chin-Sheng C., Kuan-Sheng C., Intelligent Pasive Control For Lower Limb Rehabilitation System, Transactions of the Canadian Society for Mechanical Engineering, Vol.37, No. 3, 2013.
- [6] Rifai, H., Mohammed, S., Hassani, W Amirat, Y., Nested Saturation Based Control of aNn Actuated Knee Joint Orthosis, Mechatronics, Vol. 23, No. 8, pp 1141-1149, 2013
- [7] Font-Llagunes, J.M., Lugris, U., Romero, F., Clos, D., Alonso, F.J., Cuadrado, J., Design of a Patient-Tailored Active Knee-Ankle-foot Orthosis to Assist the Gait of Spinal Cord Injured Subjects, J.Neuroeng. Rehabilitation., Vol.10, No. 5, PP.1-8, 2013
- [8] Belforte, G., Gastaldi, L. and Sorli, M., Pneumatic active gait orthosis, ELSEVIER, Mechatronics, Vol. 11, No. 3, pp. 301-323, 2001.
- [9] Rider, M., Design and Analysis of Mechanisms: A Planer Approach, wiley, 2015.
- [10] Hoseini, S.M. and Zahrai, B., Genetic Algorithm & Engineering Optimization, 2009(in Persian).